



A cura della Sezione di Napoli | **OSSERVATORIO VESUVIANO**

CAMPI FLEGREI

Bollettino Settimanale

14/11/2022 – 20/11/2022

(Data emissione 22 novembre 2022)

1. SINTESI STATO DI ATTIVITA'

Alla luce dei dati di monitoraggio si evidenzia:

- 1) SISMOLOGIA:** Nella settimana dal 14 al 20 novembre 2022 nell'area dei Campi Flegrei sono stati registrati 149 terremoti di bassa energia ($M_{dmax} = 1.2 \pm 0.3$).
- 2) DEFORMAZIONI:** Il valore medio della velocità di sollevamento nell'area di massima deformazione dalla metà di giugno 2022 è circa 7 ± 1 mm/mese. Il sollevamento registrato alla stazione GPS di RITE è di circa 94.5 cm a partire da gennaio 2011.
- 3) GEOCHIMICA:** I flussi di CO_2 dal suolo misurati nell'ultima settimana non hanno mostrato variazioni significative. Il sensore di temperatura installato in una emissione fumarolica a 5 metri dalla fumarola principale di Pisciarelli ha mostrato un valore medio di ~ 87 °C, al di sotto della temperatura di condensazione del fluido fumarolico (~ 95 °C).

2. SCENARI ATTESI

Sulla base dell'attuale quadro dell'attività vulcanica sopra delineato, non si evidenziano elementi tali da suggerire significative evoluzioni a breve termine.

N.B. Eventuali variazioni dei parametri monitorati possono comportare una diversa evoluzione degli scenari di pericolosità sopra descritti.

3. SISMOLOGIA

Nella settimana dal 14 al 20 novembre 2022, nell'area dei Campi Flegrei, sono stati registrati 149 terremoti di bassa energia con $-0.8 \leq M_d \leq 1.2$ (± 0.3).

È stato possibile determinare i parametri ipocentrali di 65 degli eventi registrati le cui localizzazioni sono mostrate in Figura 3.1.

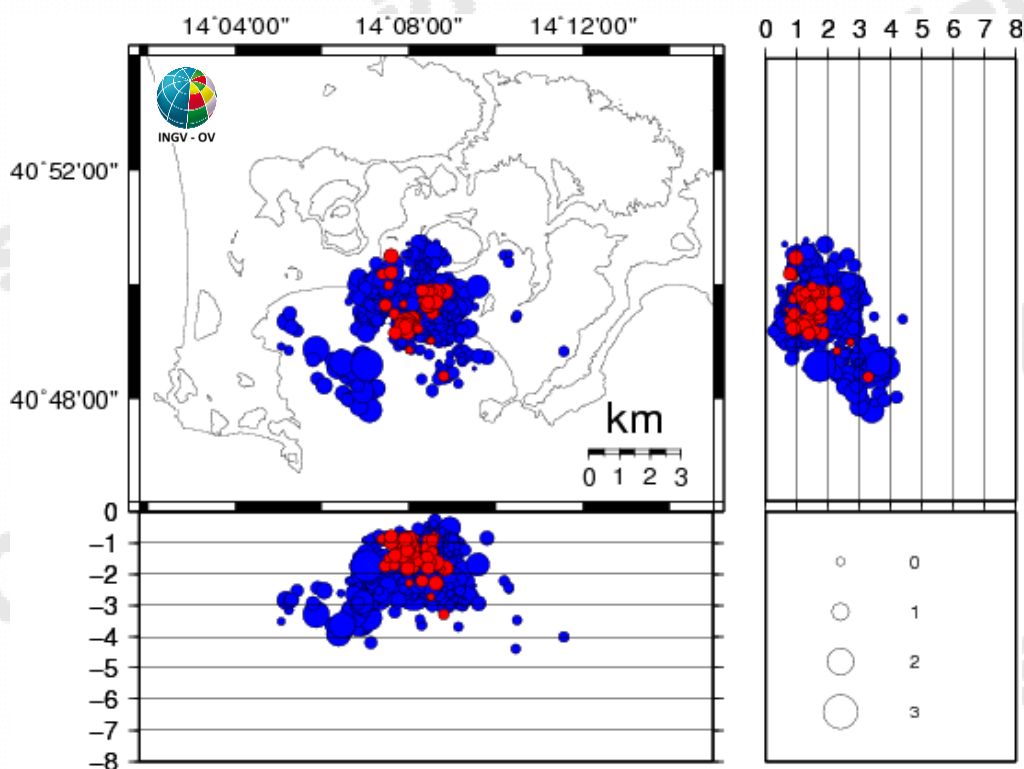


Figura 3.1 - Ipocentri dei terremoti localizzati ai Campi Flegrei negli ultimi 12 mesi (in totale 1536). In rosso gli eventi localizzati nell'ultima settimana (in totale 65).

Di seguito si riportano i parametri ipocentrali degli eventi localizzati nell'ultima settimana:

Data UTC	Md	Lat N	Long E	Prof. (km)
2022/11/20 09:31:22.44	0.5	40.8368	14.1265	0.79
2022/11/20 09:01:45.65	0.7	40.8415	14.1265	0.97
2022/11/20 09:01:05.80	0.2	40.8363	14.1232	0.88
2022/11/19 17:22:50.35	0.5	40.8192	14.1280	1.40
2022/11/19 11:56:11.51	0.1	40.8330	14.1255	1.49
2022/11/19 07:10:24.52	0.1	40.8203	14.1368	1.61
2022/11/19 06:28:08.41	0.7	40.8208	14.1320	0.89
2022/11/19 01:53:38.87	0.5	40.8217	14.1327	1.24
2022/11/19 01:46:22.35	0.9	40.8212	14.1308	1.38
2022/11/19 01:37:02.88	0.6	40.8193	14.1328	1.82
2022/11/19 01:16:16.17	0.8	40.8217	14.1318	1.15
2022/11/19 01:08:41.71	1.2	40.8222	14.1320	1.28
2022/11/19 00:54:16.66	0.5	40.8280	14.1407	1.81
2022/11/19 00:48:01.06	0.7	40.8282	14.1437	2.28
2022/11/19 00:46:45.11	-0.3	40.8285	14.1380	1.72
2022/11/19 00:33:44.74	0.5	40.8270	14.1403	1.47
2022/11/19 00:14:39.38	0.9	40.8272	14.1407	1.63
2022/11/18 14:38:08.85	-0.5	40.8315	14.1467	1.83
2022/11/18 13:44:13.09	0.1	40.8277	14.1410	1.54
2022/11/18 09:36:17.23	-0.5	40.8263	14.1430	0.69
2022/11/18 09:29:56.41	0.4	40.8250	14.1423	0.92

2022/11/18 08:08:58.31	0.2	40.8247	14.1277	1.72
2022/11/18 06:59:33.99	-0.3	40.8248	14.1440	0.80
2022/11/18 05:04:41.97	0.4	40.8228	14.1337	0.81
2022/11/18 05:04:33.71	0.5	40.8217	14.1342	0.95
2022/11/18 04:11:13.81	0.2	40.8207	14.1342	1.14
2022/11/18 04:10:50.51	0.5	40.8217	14.1335	0.96
2022/11/18 04:09:11.98	-0.1	40.8218	14.1362	1.18
2022/11/18 02:58:59.04	0.4	40.8237	14.1348	1.78
2022/11/18 02:58:08.88	0.9	40.8232	14.1347	1.44
2022/11/18 00:06:01.76	-0.1	40.8235	14.1365	1.31
2022/11/17 22:18:55.07	-0.1	40.8222	14.1358	1.19
2022/11/17 22:05:45.60	-0.1	40.8222	14.1358	1.36
2022/11/17 21:59:28.47	0.4	40.8210	14.1352	1.13
2022/11/17 21:55:33.89	0.1	40.8212	14.1347	0.88
2022/11/17 21:54:11.32	0.2	40.8217	14.1332	0.89
2022/11/17 21:50:21.98	0.2	40.8215	14.1352	1.02
2022/11/17 21:50:05.92	0.4	40.8217	14.1342	0.97
2022/11/17 21:47:44.86	0.2	40.8215	14.1353	0.87
2022/11/17 21:14:29.11	0.2	40.8065	14.1467	3.29
2022/11/17 01:02:57.22	0.4	40.8315	14.1383	2.22
2022/11/15 16:30:40.50	0.2	40.8312	14.1410	1.61
2022/11/15 08:07:03.85	-0.1	40.8275	14.1313	1.67
2022/11/15 03:38:21.97	0.2	40.8313	14.1423	1.29
2022/11/15 03:38:16.41	0.8	40.8313	14.1440	1.64
2022/11/15 03:38:00.37	0.2	40.8302	14.1432	1.68
2022/11/15 03:14:39.74	0.8	40.8313	14.1473	1.81
2022/11/15 03:14:04.09	0.1	40.8315	14.1428	1.37
2022/11/15 01:01:13.03	0.4	40.8305	14.1402	1.15
2022/11/15 00:54:13.30	0.1	40.8295	14.1402	0.89
2022/11/15 00:48:49.62	-0.3	40.8288	14.1413	1.10
2022/11/15 00:45:03.03	0.1	40.8303	14.1410	1.18
2022/11/15 00:41:27.22	0.5	40.8297	14.1402	1.23
2022/11/15 00:22:58.26	0.5	40.8315	14.1412	1.07
2022/11/15 00:22:33.99	0.2	40.8303	14.1417	1.09
2022/11/15 00:22:25.66	0.1	40.8305	14.1402	1.06
2022/11/15 00:14:46.48	-0.3	40.8300	14.1415	0.89
2022/11/14 22:30:36.14	0.1	40.8275	14.1408	1.25
2022/11/14 20:31:45.77	0.1	40.8297	14.1405	1.15
2022/11/14 15:51:29.35	-0.1	40.8142	14.1335	2.29
2022/11/14 14:10:20.92	-0.1	40.8168	14.1418	2.72
2022/11/14 01:22:37.39	0.4	40.8273	14.1243	1.74

4. DEFORMAZIONI DEL SUOLO

GNSS. Dalla metà di giugno 2022 il valore medio della velocità di sollevamento nell'area di massima deformazione è di circa 7 ± 1 mm/mese. Il ricalcolo è stato effettuato sulla base di un set di dati più esteso (intervallo rosa in Fig. 4.1a).

Nelle ultime settimane, in concomitanza con una maggior attività sismica nell'area, si registra un aumento della velocità di deformazione. Tale variazione, il cui reale andamento potrà essere valutato con i dati delle prossime settimane, interessa sia le componenti verticali (variazioni in quota della stazione RITE in Figura 4.1a) che quelle planimetriche (variazioni in lunghezza della baseline ACAE-ARFE in Figura 4.1b).

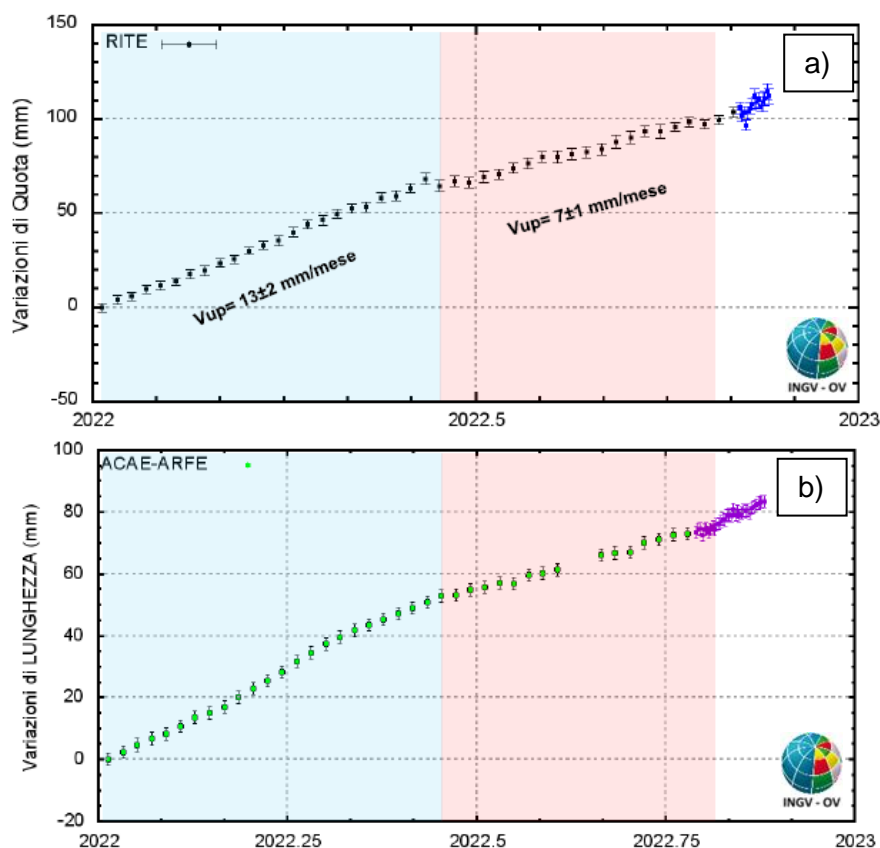


Figura 4.1 - Serie temporale delle variazioni in quota della stazione GNSS di RITE (a) e delle variazioni in lunghezza della baseline ACAE-ARFE (b) dal 01/01/2022.

Il sollevamento registrato alla stazione GNSS di RITE è di circa 94.5 cm a partire da gennaio 2011, di cui circa 10.5 cm da gennaio 2022 (Figura 4.2).

Le Figure 4.2 e 4.3 riportano le serie temporali delle variazioni in quota di alcune stazioni GNSS ubicate nella zona di massima deformazione dei Campi Flegrei.

I punti in nero, rosso, verde e viola rappresentano le variazioni settimanali calcolate con i prodotti finali IGS (effemeridi precise e parametri della rotazione terrestre) i quali vengono rilasciati con un ritardo di 12-18 giorni. I punti in blu rappresentano le variazioni giornaliere calcolate con prodotti rapidi IGS in attesa della rielaborazione con i prodotti finali IGS appena disponibili.

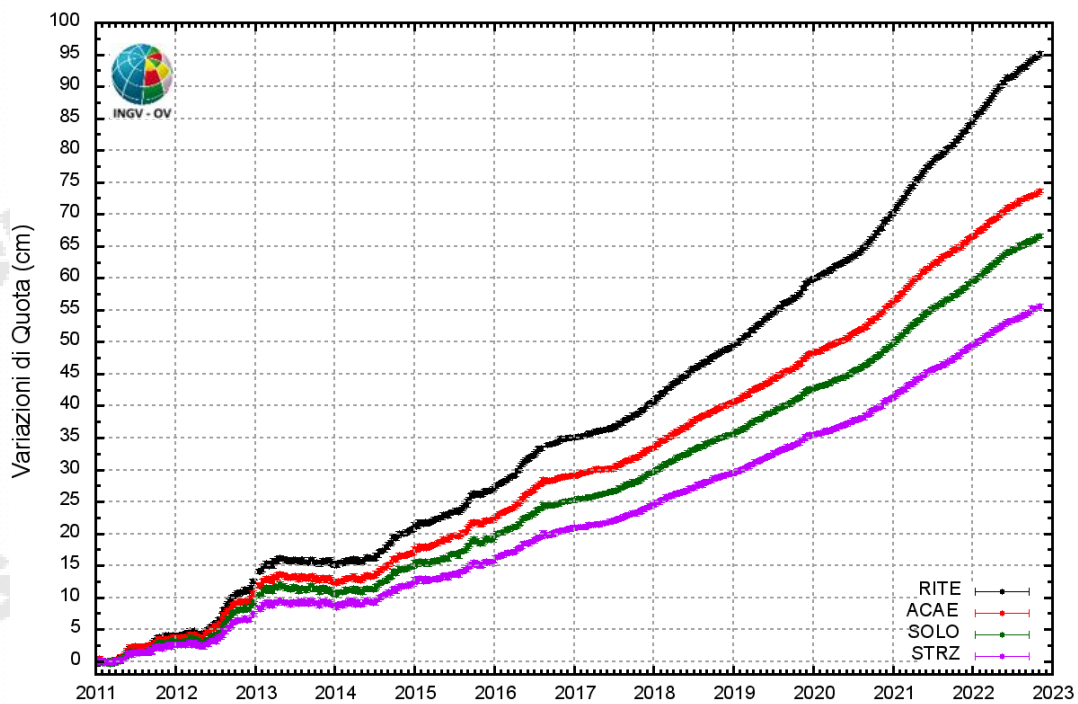


Figura 4.2 - Serie temporali delle variazioni in quota delle stazioni di RITE (Pozzuoli – Rione Terra), ACAE (Accademia Aeronautica), SOLO (Solfatara) e STRZ (Pozzuoli - Cimitero) dal 1 gennaio 2011 al 5 novembre 2022.

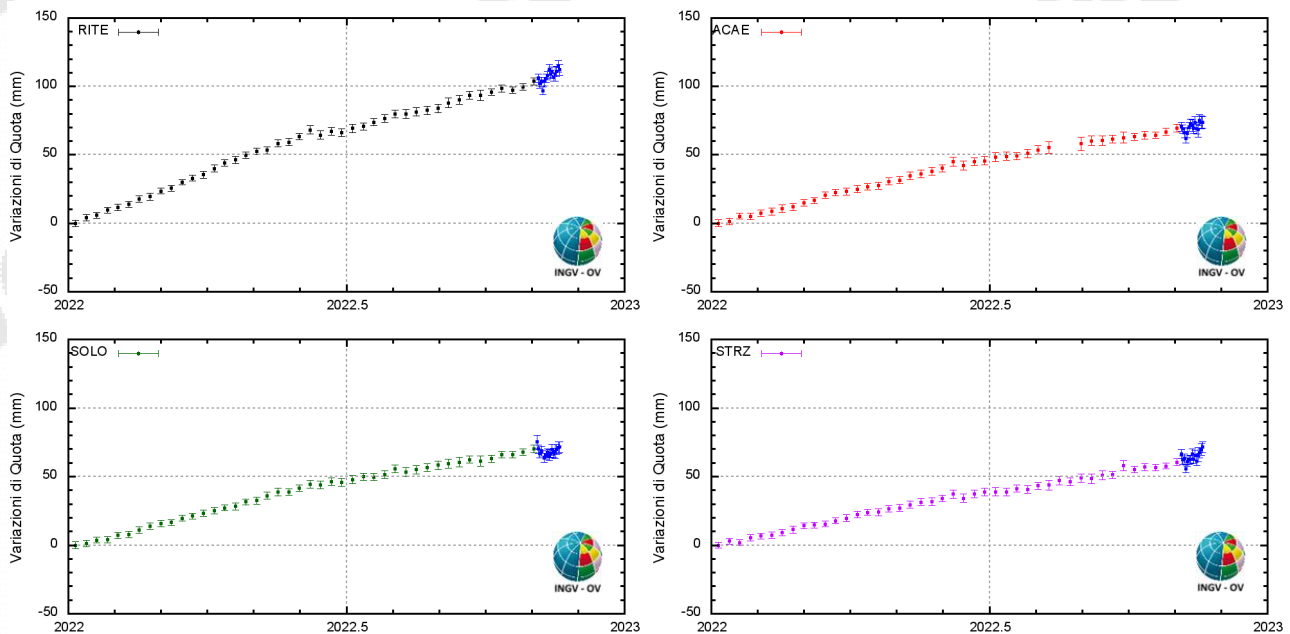


Figura 4.3 - Serie temporali delle variazioni in quota delle stazioni di RITE (Pozzuoli – Rione Terra), ACAE (Accademia Aeronautica), SOLO (Solfatara) e STRZ (Pozzuoli - Cimitero) dal 1 gennaio al 20 novembre 2022.

5. GEOCHIMICA

I valori del flusso di CO₂ dal suolo registrati in continuo dalla stazione FLXOV8 nell'area di Pisciarelli (versante esterno nord-orientale della Solfatarà), evidenziano il perdurare dei trend pluriennali già identificati in precedenza (vedi Bollettini Mensili). I flussi di CO₂ dal suolo misurati nell'ultima settimana non hanno mostrato variazioni significative rispetto ai periodi precedenti (Fig. 5.1a).

Il sensore di temperatura installato nella fumarola principale non è più funzionante e dovrà essere sostituito, ma a causa delle macroscopiche variazioni dell'area fumarolizzata e della stabilità del suolo, in osservanza al principio di precauzione e al fine di operare in sicurezza, sono attualmente sospese le attività di manutenzione nell'area. Per questo motivo nel cronogramma di Figura 5.1b (linea blu) sono riportati i valori di temperatura misurati in continuo a partire dal mese di ottobre 2018 in una emissione fumarolica nell'area di Pisciarelli che dista circa 5 metri in linea d'aria dalla fumarola principale (linea nera). Nell'ultima settimana i valori di temperatura misurati hanno mostrato un valore medio di ~87 °C, al di sotto della temperatura di condensazione del fluido fumarolico (~95 °C). Permane la presenza del liquido nella polla di Pisciarelli, con il livello del liquido che è risalito in concomitanza delle precipitazioni meteoriche verificatesi. Appare sempre più evidente, come già riportato nei precedenti Bollettini, il controllo delle condizioni meteo sulle variazioni mostrate della polla e sulla temperatura della fumarola.

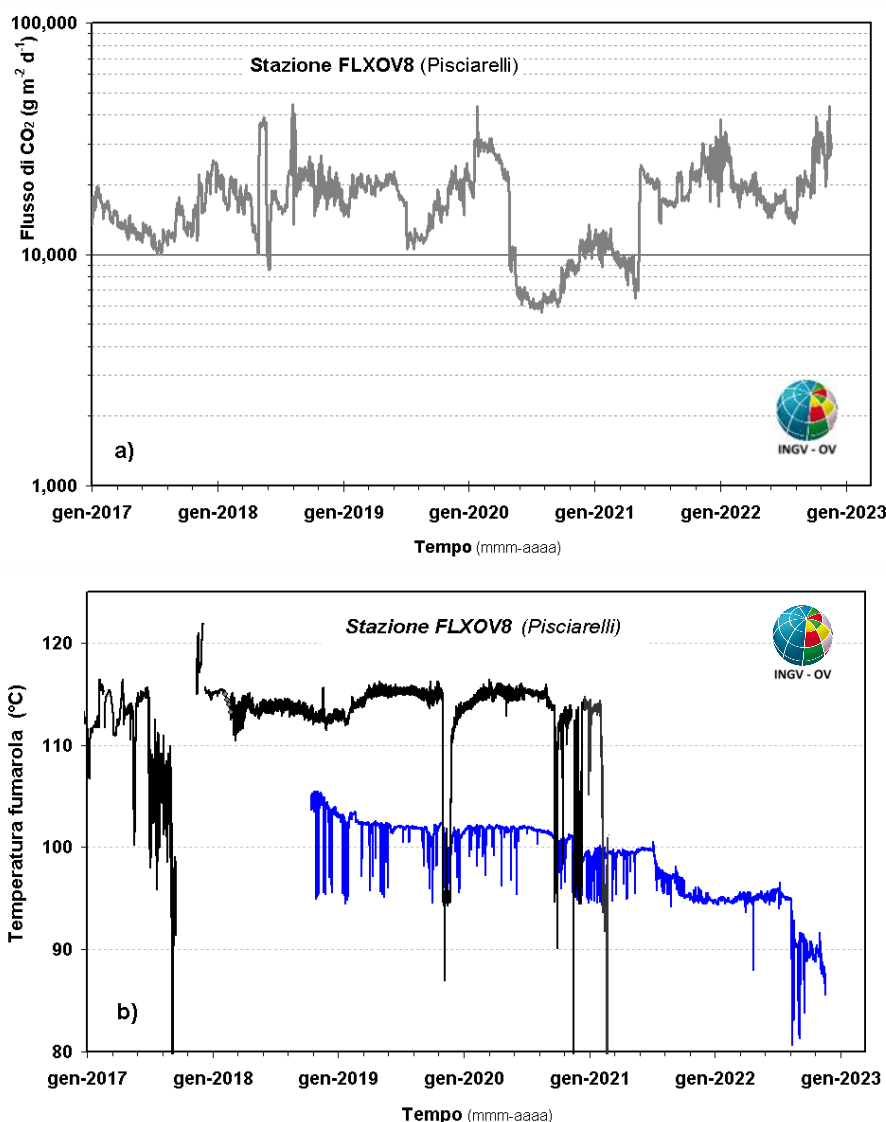


Figura 5.1 - (a) Valori del flusso di CO₂ dal suolo (medie giornaliere); (b) dettaglio della temperatura della fumarola principale e di un'altra emissione fumarolica (linea blu) misurati in area Pisciarelli.

6. STATO STAZIONI

Tabella 6.1 - Stato di funzionamento delle reti.

Rete di monitoraggio	Numero di stazioni con acq. < 33%	Numero di stazioni con acq. compresa tra 33% e 66%	Numero di stazioni con acq. > 66%	Numero totale stazioni
Sismologia	8	-	18	26
Deformazioni-GNSS	1	-	24	25
Geochemica	-	-	4	4

Responsabilità e proprietà dei dati

L'INGV, in ottemperanza a quanto disposto dall'Art.2 del D.L. 381/1999, svolge funzioni di sorveglianza sismica e vulcanica del territorio nazionale, provvedendo alla organizzazione della rete sismica nazionale integrata e al coordinamento delle reti sismiche regionali e locali in regime di convenzione con il Dipartimento della Protezione Civile.

L'INGV concorre, nei limiti delle proprie competenze inerenti la valutazione della Pericolosità sismica e vulcanica nel territorio nazionale e secondo le modalità concordate nella convenzione biennale attuativa per le attività di servizio in esecuzione dell'Accordo Quadro tra il Dipartimento della Protezione Civile e l'INGV (Periodo 2022-2025), alle attività previste nell'ambito del Sistema Nazionale di Protezione Civile. In particolare, questo documento, redatto in conformità all'Allegato Tecnico del suddetto Accordo Quadro, ha la finalità di informare il Dipartimento della Protezione Civile circa le osservazioni e i dati acquisiti dalle reti di monitoraggio gestite dall'INGV su fenomeni naturali di interesse per lo stesso Dipartimento.

L'INGV fornisce informazioni scientifiche utilizzando le migliori conoscenze scientifiche disponibili; tuttavia, in conseguenza della complessità dei fenomeni naturali in oggetto, nulla può essere imputato all'INGV circa l'eventuale incompletezza ed incertezza dei dati riportati e circa accadimenti futuri che differiscano da eventuali affermazioni a carattere previsionale presenti in questo documento. Tali affermazioni, infatti, sono per loro natura affette da intrinseca incertezza.

L'INGV non è responsabile dell'utilizzo, anche parziale, dei contenuti di questo documento da parte di terzi, e/o delle decisioni assunte dal Dipartimento della Protezione Civile, dagli organi di consulenza dello stesso Dipartimento, da altri Centri di Competenza, dai membri del Sistema Nazionale di Protezione Civile o da altre autorità preposte alla tutela del territorio e della popolazione, sulla base delle informazioni contenute in questo documento. L'INGV non è altresì responsabile di eventuali danni arrecati a terzi derivanti dalle stesse decisioni.

La proprietà dei dati contenuti in questo documento è dell'INGV. La diffusione anche parziale dei contenuti è consentita solo per fini di protezione civile ed in conformità a quanto specificatamente previsto dall'Accordo Quadro sopra citato tra INGV e Dipartimento della Protezione Civile.